

Universidade Estadual de Campinas - UNICAMP  
Instituto de Computação - IC

**Relatório Final - MO824**

# **Metaheurísticas BRKGA para o Problema do Empacotamento Bidimensional Ortogonal**

RAFAEL GRISOTTO E SOUZA

Campinas  
2017

## **Abstract**

Este projeto computacional descreve o Problema da Mochila Bidimensional (2KP), que é um problema NP-Difícil. Uma mochila bidimensional é usada para empacotar itens de mesma dimensão e estes itens tem valores agregados. No projeto foi utilizado um solver exato *Gurobi* e a metaheurísticas RKGA para resolver o 2KP. Com o BRKGA utilizamos 4 decodificadores diferentes e dois deles se mostraram bastante eficientes. Concluindo que a abordagem exata para este problema não se mostrou boa o suficiente e a metaheurística teve resultados bons para dois decodificadores dos quatro avaliados.

**Keywords:** problema empacotamento bidimensional, BRKGA, knapsack

# Sumário

<b>1</b>	<b>Introdução</b>	<b>4</b>
<b>2</b>	<b>Metodologias</b>	<b>5</b>
2.1	Modelo de Programação de linear . . . . .	5
2.2	BRKGA . . . . .	7
<b>3</b>	<b>Experimentos Computacionais</b>	<b>11</b>
3.1	BRKGA . . . . .	11
3.2	<i>Time-to-Target Plots</i> . . . . .	16
<b>4</b>	<b>Conclusões</b>	<b>16</b>
	<b>Referências</b>	<b>16</b>

# 1 Introdução

Os problemas de corte e empacotamento são geralmente problemas onde se deseja que objetos pequenos sejam empacotados em outros maiores, podendo ser feito cortes nestes pequenos objetos para satisfazer restrições do empacotamento. Os problemas gerais e suas variedades tem sido estudados por mais de seis décadas. Estes são considerados problemas de otimização combinatória e possuem em sua grande maioria variantes que são NP-Difíceis. Além do interesses teóricos destes problemas, existem demandas práticas. Podemos destacar aplicações como: escalonamento de processos, indústrias de metais e placas, propaganda, telecomunicações e indústrias de tecido.

Devido aos diferentes tipos de problemas presentes na área de corte e empacotamento, Dyckhoff's [7] caracterizou características comuns e propriedades para problemas de corte e empacotamento. As quatro categorias definidas por ele são:

**Dimensionalidade:** É o número de dimensões necessárias para descrever a geometria dos objetos.

**Tipo de atribuição:** Descreve se todos os itens ou apenas uma seleção deles devem ser utilizados.

**Variedade dos recipientes:** Pode ser apenas um ou vários recipientes e estes podem ser iguais ou de variadas formas.

**Variedade dos itens:** A forma como são e sua quantidade. Estes podem ser poucos itens ou muitos com diferentes formas e similaridades.

Neste trabalho, foi investigado O problema de empacotamento bidimensional ortogonal que pode ser chamado de **Problema da Mochila Bidimensional Ortogonal**, do inglês *Two-Dimensional Orthogonal Knapsack Problem* (2KP) quando temos apenas um recipiente para os itens serão empacotados. No problema temos retângulos com largura, comprimento e um valor agregado a eles, não é permitido a rotação dos retângulos e devem ser empacotados de forma ortogonal aos lados da mochila. Neste problema é fundamental que os retângulos não extrapolem as dimensões da mochila e nem ocupem o mesmo espaço dentro do recipiente. O objetivo é maximizar o valor empacotado na mochila.

O problema 2KP pode ser descrito assim: Dado um conjunto de retângulos  $L = \{1, 2, \dots, n\}$ , para cada  $i$  com comprimento  $l_i$ , largura  $w_i$  e um valor  $v_i$  não negativo, onde  $V : L \rightarrow \mathbb{R}^+$ , e temos uma mochila bidimensional  $R$  com comprimento  $L$  e largura  $W$ , tal que  $0 < l_i \leq L$  e

$0 < w_i \leq W$ . Para cada item, existe a quantidade máxima de cópias permitida e temos como objetivo encontrar um subconjunto  $S \subseteq L$  e empacotar S em R, tal que  $\sum_{i \in L} v_i$  é máximo.

Uma grande quantidade de autores propuseram procedimentos para a resolução do 2KP. Como algoritmos exatos [5, 6], também heurísticas híbridas [11] e metaheurísticas como GRASP [1], busca Tabu [2] e BRKGA [8]. Para uma completa lista de abordagens, veja Lodi, Andrea et al. [12].

## 2 Metodologias

No projeto computacional, foram utilizadas a metaheurística BRKGA e o solver de programação linear inteira Gurobi. As instâncias que foram utilizadas são da literatura, sendo oito do Beasley [5] e um pacote contendo 630 instâncias geradas por Beasley [4], estas instâncias estão classificadas em três níveis de dificuldade, cada nível contendo 210 instâncias. Para efeito de comparação, utilizamos apenas oito do primeiro nível e 5 de cada um dos demais níveis. No total utilizamos 26 instâncias que abrangem vários tamanhos de mochilas e quantidade entre 40 e 2000 de itens.

### 2.1 Modelo de Programação de linear

Para a solução da programação linear, precisamos definir a região da mochila para empacotar os retângulos e garantir todas as restrições. Assim, utilizamos pontos de discretização proposto por Herz [10], que pode ser descrito da seguinte forma: Um conjunto P de todos os pontos de discretização do comprimento da mochila, onde para cada  $i \in P$  é um valor  $i \leq R$  que pode ser obtido por uma combinação cônica inteira de  $l_1, \dots, l_m$ . De maneira similar é gerado um conjunto Q para a largura.

O algoritmo DDP 1 (Discretization using Dynamic Programming) é basicamente resolver o problema de knapsack em que cada item  $i$  tem peso e valor  $d_i$  ( $i = 1, \dots, n$ ), e a knapsack tem capacidade  $D$ . A partir disso, utilizamos uma técnica de programação dinâmica para o problema knapsack que encontra os valores ótimos para as knapsacks com capacidades entre 1 até  $D$ . Veja que é fácil observar que  $j$  é um ponto de discretização se e somente se a knapsack com capacidade  $j$  tem valor ótimo  $j$ .

---

**Algorithm 1** DDP

---

**Require:**  $D, d_1, \dots, d_n$ .

**Ensure:** Um conjunto de pontos de discretização  $P$ .

```
1:  $P \leftarrow \emptyset$ 
2: for  $j = 0$  até  $D$  do
3:    $c_j = 0$ 
4: for  $i = 0$  até  $n$  do
5:   for  $j = 0$  até  $D$  do
6:     if  $c_j < c_{j-d_i} + d_i$  then
7:        $c_j = c_{j-d_i} + d_i$ 
8: for  $j = 0$  até  $D$  do
9:   if  $c_j = j$  then
10:     $P = P \cup j$ 
```

---

O problema 2KP pode ser formulado com o seguinte programa linear inteiro:

$$\text{Maximizar} \quad \sum_i \sum_p \sum_q v_i x_{i,p,q} \quad (1)$$

$$\text{Sujeito a} \quad \sum_i \sum_p \sum_q (w_i \cdot l_i) x_{i,p,q} \leq W \cdot L \quad (2)$$

$$\sum_{(p,q) \in wSet \times hSet} x_{i,p,q} \leq Q_i \quad \forall i \in Items \quad (3)$$

$$\sum_{(i,p,q) \in E(s,t)} x_{i,p,q} \leq 1 \quad \forall (s,t) \in wSet \times hSet \quad (4)$$

$$x_{i,p,q} \leq Q_i \quad \text{para } i = 1, \dots, n \quad (5)$$

$$x_{i,p,q} \geq 0, \quad \text{inteiro, para } i = 1, \dots, n \quad (6)$$

onde:

- $n$  é a quantidade total de itens;

- $v_i$  representa o valor do item  $i$ ;
- $Q_i$  representa a quantidade máxima de cópias do item  $i$ ;
- $l_i$  e  $w_i$  representam o comprimento e a largura do item  $i$ , respectivamente;
- $x_{i,p,q}$  indica se o item  $i$  será empacotado na mochila ( $x_{i,p,q} > 0 \leq Q_i$ ) ou não ( $x_{i,p,q} = 0$ ).

$$E(s, t) = \begin{cases} (i, p, q) : (p, q) \in wSet \times hSet \\ i \in Items \\ p \leq s \leq p + w \\ q \leq t \leq q + h \end{cases}$$

## 2.2 BRKGA

O BRKGA (biased random-key genetic algorithm)[9] é uma metaheurística baseada no algoritmo de chaves aleatórias de Bean [3] para problemas de otimização. A solução é representada por um vetor de chaves aleatórias em um intervalo de números reais contínuo  $(0, 1]$ . O decodificador calcula o custo da solução mapeando um vetor de chaves aleatórias em uma solução do problema. No início o algoritmo gera uma série de populações iniciais de  $p$  vetores de  $n$  chaves aleatórias. A cada geração é copiado um conjunto dos melhores indivíduos, conjunto chamado elite, também é gerado um conjunto de mutantes e para completar a população desta nova geração são gerados aleatoriamente novos indivíduos.

Para conseguir novos resultados, adicionamos ao BRKGA duas variações: diversidade de população e reinício por não aprimoramento. Para manter os indivíduos diversos e evitar a convergência muito cedo, foi usada uma função que diversifica as populações após o processo seleção do conjunto elite na geração atual. Os indivíduos são então comparados 2 a 2 e se houver menos de uma porcentagem, que é um parâmetro, de locus diferentes entre eles, o primeiro indivíduo selecionado tem  $n$  locus mudados aleatoriamente, onde  $n$  é o tamanho da instância de entrada. No entanto, indivíduos que são uma porcentagem, definida por um parâmetro, do fitness da solução incumbente são mantidos para a próxima geração e não chegam a ser comparados. Para conseguir tentar evitar mínimos locais, foi aplicado a estratégia de reinício por não aprimoramento, onde a cada uma quantidade definida de gerações não houver melhoria na solução, então é gerado populações novas.

### 2.2.1 Conjunto de parâmetros

Para o BRKGA utilizado, temos os seguintes parâmetros:

- $n$ : Indica o número de indivíduos existentes em cada geração do processo. Esses indivíduos serão avaliados de acordo com sua qualidade (*fitness*).
- $p_e$ : Define uma fração da população que será o conjunto elite.
- $p_m$ : Define uma fração da população que será trocada por mutantes para a próxima geração.
- $\rho_{he}$ : Define a probabilidade de que os descendentes herdem um alelo de um parente de elite.
- $K$ : Indica quantas populações independentes serão utilizadas no algoritmo.
- $X\_INTVL$ : Este parâmetro define a quantidade de gerações para a troca dos melhores indivíduos entre as populações.
- $X\_NUMBER$ : Quando for feito a troca dos melhores indivíduos, este parâmetro define quantos serão trocados.
- $SizeRate$ : Utilizando *Diversity Maintenance*, é necessário diversificar a população. Neste caso, realizam-se testes 2 a 2 em cada indivíduo e se os indivíduos possuírem um número maior que o valor pré-definido (0.5%, por exemplo) de alelos iguais, o primeiro dos dois sofre uma mutação aleatória em todo o locus.
- $FitRate$ : Dada a solução incumbente, se indivíduos possuírem um *fitness* com porcentagem  $FitRate$  da solução incumbente, esses indivíduos serão mantidos para a próxima geração e não serão sequer comparados no processo de *SizeRate*.
- $reset$ : Define a quantidade de gerações sem melhoria na solução para a aplicação da estratégia de reinício por não aprimoramento.

### 2.2.2 Decodificadores para o problema 2KP

Para o calcular o custo de solução, foram implementados quatro decodificadores que resolvem a restrição de cópias dos itens, tornando os itens unitários. Para cada item  $i$  e  $Q_i > 1$ , adiciona as



cópias do item  $i$  no conjunto  $L$ , incrementa a quantidade total de itens a cada inclusão e subtrai  $Q_i$ . Assim, para cada item  $i$  do conjunto  $L$ ,  $Q_i = 1$ . O problema 2KP tem uma entrada representada por uma tupla  $I = (R, l, h, w, v)$ , onde  $R = (H, W)$  é um retângulo,  $L = (1, \dots, n)$  lista de retângulos, cada retângulo com dimensões  $(h_i, w_i)$  e valor  $v_i$ .

**Decodificador 1:** O decodificador 1 utiliza o método de BL (Bottom-Left) ou LB (Left-Bottom), nele temos a preferência de empacotar os itens primeiramente pela esquerda ou por baixo. Assim, os  $n$  primeiros elementos do vetor de números reais representam a sequência de itens e os  $n + 1$  até  $2n$  representam o empacotamento pelo BL ou LB. Assim,  $2n$  chaves, sendo  $[(o_i, t_i), (o_2, t_2), \dots, (o_n, t_n)]$ .

O Algoritmo 2 inicialmente cria um vector de cantos com o canto inicial  $(0, 0)$ , define se o empacotamento é pelo BL ou LB e o item que será empacotado. Após, verificamos se ele não ultrapassa as dimensões da mochila, se não, então empacotamos, removemos o canto que foi utilizado, além disso sendo as coordenadas do item  $(x_1, y_1), (x_2, y_2)$ , removemos todos os cantos onde no primeiro caso  $x \leq x_1$  e  $y \leq y_2$  ou no segundo caso  $x \leq x_2$  e  $y \leq y_1$ , onde  $(x, y)$  são coordenadas de um canto. Por fim, adicionamos um canto a esquerda da altura do item empacotado, um a direita à baixo e outro na extremidade direita e acima do item.

---

**Algorithm 2** Decodificador 1

---

**Require:**  $I = (R, L, h, w, v)$  e a sequência de  $2n$  chaves aleatórias  $K = (o_1, \dots, o_n, t_1, \dots, t_n)$ .

**Ensure:** Somatório de valores dos itens empacotados.

```
1:  $P \leftarrow [(0, 0)]$  //  $P$  é a lista de pontos de canto vigente
2:  $A \leftarrow 0$  // pesos dos itens empacotados
3:  $tam \leftarrow \text{SIZE}(K)/2$ 
4: for cada  $j \leftarrow 1$  to  $tam$  do
5:    $type \leftarrow K[j + tam]$ 
6:   if  $type > 0.5$  then // BL
7:     for  $c \in P$  do // Pontos de canto pelo início da lista
8:       if  $(L_j.h + c.first) \leq H$  AND  $(L_j.w + c.second) \leq W$  then
9:          $A \leftarrow A + L_i.v$ 
10:         $P \leftarrow P \setminus c$ 
11:       for  $c2 \in P$  do
12:         if  $c2.first \leq c.first$  AND  $c2.second \leq (L_j.w + L_j.h + c.second)$  then
13:            $P \leftarrow P \setminus c2$ 
14:         if  $c2.first \leq (L_j.w + c.first)$  AND  $c2.second \leq c.second$  then
15:            $P \leftarrow P \setminus c2$ 
16:       Adiciona um ponto com  $x = x$  do primeiro ponto de canto a esquerda e  $y =$  altura do item
17:       Adiciona um ponto com  $x = x$  do primeiro ponto de canto a direita e  $y =$  comprimento do item
18:       Adiciona um ponto com  $x = c.first + L_j.w$  e  $y = c.second + L_j.h$ 
19:   else // LB
20:     for  $c \in \text{RESERVE}(P)$  do // Pontos de canto pelo fim da lista
21:       Repete todo o processo da linha 8-18, apenas pegando do final da lista de cantos
21: return  $A$ 
```

---

**Decodificador 2:** Decodificador 2 utiliza a ideia de bandeja, onde é empacotado os itens até o limite da largura da mochila, após é feito um limite acima do item mais alto destes empacotados, uma bandeja. O vetor de números reais representam a sequência de itens a serem empacotados. O algoritmo soma os valores da largura dos itens até o limite da largura da mochila e define a altura pelo altura como a altura do item que tem altura maior. Os próximos itens a serem empacotados começam a partir desta altura e o processo se repete até atingir a altura da mochila.

**Decodificador 3:** Decodificador 3 utiliza a mesma ideia do decodificador 2. As diferenças são que escolhemos aleatoriamente os pontos de cantos, e se no ponto de canto escolhido o item não couber, então ele é descartado e começa o processo para o próximo item.

**Decodificador 4:** Decodificador 4 use como caixa preta o algoritmo do Flávio Miyazawa. Nele é usado a estratégia de escada, onde existe um parâmetro, *alpha*, que define em qual região da escada o item será empacotado. A escada é uma região onde item mais a esquerda tem altura maior ou igual ao item à esquerda e assim por diante. O vetor de números reais representam a sequência de itens e os  $n + 1$  até  $2n$  representam o valor do *alpha*.

### 3 Experimentos Computacionais

Os experimentos computacionais foram executados em uma máquina com oito cores na plataforma Azure. Na primeira etapa dos experimentos executamos os quatro decodificadores para identificar os mais promissores a terem os seus parâmetros aprimorados pelo *irace*.

#### 3.1 BRKGA

Através de experimentos anteriores e intuição, escolhemos a seguinte configuração de parâmetros como promissora para os decodificadores. São mostrados na coluna *Sem Tuning* da Tabela 1. Após os experimentos com os decodificadores, escolhemos os dois que tiveram os melhores resultados entre o conjunto de instâncias para serem *tunados* pelo *Irace*. Os melhores foram o Deco1 e o Deco4.

Lista de parâmetros utilizados para o *tunning* pelo *Irace* do Deco1 e Deco2 e seus devidos intervalos:

- $n$ : valor de  $a$  no intervalo  $(3, 12)$ , onde  $a * \log l$ ;
- $pe$ : intervalo  $(0.07, 0.20)$ ;
- $pm$ : intervalo  $(0.07, 0.20)$ ;
- $rhoe$ : intervalo  $(0.40, 0.90)$ ;
- $K$ : intervalo  $(1, 5)$ ;

Tabela 1: Parâmetros dos decodificadores sem *tunning* e com *tunning* pelo Irace

	<i>Sem Tunnig</i>	Deco1 & Deco3	Deco4
n	$7 * \log l$	$7 * \log l$	$8 * \log l$
pe (%)	10	8	11
pm (%)	10	18	12
rhoe	0.70	0.77	0.74
K	3	5	4
X_INTVL	100	444	284
X_NUMBER	2	4	3
SizeRate (%)	98	99	84
FitRate (%)	5	5	4
reset	400	1026	409

- X\_INTVL: intervalo (50, 500);
- X\_NUMBER: intervalo (1, 5);
- SizeRate: intervalo (0.80, 0.99);
- FitRate: intervalo (0.01, 0.10);
- reset: intervalo (300, 1500).

Utilizamos todas as instâncias exceto *gcut1*, *type1-1*, *type2-1* e *type3-1* e definimos por 8 horas o tempo que o Irace teve para o *tuning*, tivemos problemas pela quantidade e domínio dos parâmetros. Na Tabela 1 nas colunas Deco1 & Deco3 e Deco4 estão os valores para os parâmetros definidos pelo Irace.

### 3.1.1 Critérios de Parada

Consideramos como critério de parada para nosso algoritmo 30 minutos de execução.

### 3.1.2 Resultados

Nesta primeira Tabela 2, temos os resultados para todas as instâncias obtidos pelo *gurobi* e pelos decodificadores sem ajuste dos parâmetros. Os melhores resultados estão destacados. A instância

*type2-5* o número de itens é superior a 200, com isso o solver *gurobi* não conseguiu resolver.

O conjunto de instâncias *gcut* basicamente o solver e os decodificadores conseguiram resolver bem, exceto o decodificador 2. O melhor decodificador foi o 4, tendo 19 instâncias com os melhores resultados e 7 destas melhores como resultados únicos. O Decodificador 1 também teve resultado considerável com 13 instâncias, conseguindo os melhores resultados e o tempo para atingir bem inferior ao Decodificador 4. Os decodificadores 2 e 3 não tiveram resultados bons. Deste modo, escolhemos os decodificadores 1 e 4 para serem *tunados* pelo Irace.

Na Tabela 3 temos os resultados para os decodificadores 1, 3 e 4 que tiveram os melhores resultados na etapa anterior. Podemos observar que o decodificador 1 teve 21 melhores resultados contra 20 do decodificador 4 e além disso, os tempos para encontrar a solução do decodificador 1 são bem menores. As instâncias com mais de 2000 itens os decodificadores se mostraram eficientes e como não sabemos a solução ótima, pois o solver não conseguiu resolver, acreditamos que estes valores provavelmente são os ótimos.

Tabela 2: Comparação do modelo exato com os decodificadores

Instância	Modelo				Decode 1			Decode 2			Decode 3			Decode 4		
	<i>LI</i>	<i>LS</i>	<i>GAP</i>	<i>t</i> (s)	<i>LS</i> <sub>1</sub>	<i>GAP</i>	<i>t</i> <sub>1</sub> (s)	<i>LS</i> <sub>2</sub>	<i>GAP</i>	<i>t</i> <sub>2</sub> (s)	<i>LS</i> <sub>3</sub>	<i>GAP</i>	<i>t</i> <sub>3</sub> (s)	<i>LS</i> <sub>4</sub>	<i>GAP</i>	<i>t</i> <sub>4</sub> (s)
gcut1	<b>48368</b>	48368	0	0.41	<b>48368</b>	0	0.42	43024	11.05	0.01	<b>48368</b>	0	0.01	<b>48368</b>	0	0.03
gcut2	<b>59798</b>	60478	1.12	440	59563	1.51	0.44	57996	4.10	0.01	59335	1.89	8.11	<b>59798</b>	1.12	37.17
gcut3	<b>61275</b>	61785	0.83	1675	<b>61275</b>	0.83	1.24	59895	3.06	1.57	60663	1.82	29.56	<b>61275</b>	0.83	83.37
gcut4	48479	-	-	2121	<b>61305</b>	-	4.20	60504	-	10.63	<b>61305</b>	-	27.84	61191	-	3.94
gcut5	<b>195582</b>	195720	0.07	8.63	<b>195582</b>	0.07	0.16	193379	1.20	0.01	<b>195582</b>	0.07	0.33	<b>195582</b>	0.07	0.02
gcut6	<b>236305</b>	241639	2.26	175	<b>236305</b>	2.21	0.07	224399	7.13	0.05	<b>236305</b>	2.21	1.71	<b>236305</b>	2.21	0.06
gcut7	<b>240143</b>	240289	0.06	885	<b>240143</b>	0.06	10.34	238974	0.55	0.05	<b>240143</b>	0.06	0.73	<b>240143</b>	0.06	1.65
type1-1	27897	28963	3.82	1746	27897	3.68	42.20	27852	3.84	0.11	27852	3.84	0.34	<b>28032</b>	3.21	0.53
type1-2	11362	1,44E+08	99.99	1800	<b>28494</b>	99.98	15.40	27528	99.98	0.12	28014	99.98	16.65	<b>28494</b>	99.98	05.08
type1-3	<b>28677</b>	29907	4.11	1542	<b>28677</b>	4.11	0.05	<b>28677</b>	4.11	0.08	<b>28677</b>	4.11	0.02	<b>28677</b>	4.11	0.20
type1-4	<b>29271</b>	29804	1.79	1527	28488	4.42	6.65	28104	5.70	1.84	28488	4.42	0.96	28836	3.25	843.08
type1-5	19668	175770000	99.99	1800	29354	99.98	196.07	28947	99.98	55.96	28845	99.98	8.91	<b>29386</b>	99.98	172.32
type1-6	28944	29742	2.68	1750	28746	3.35	54.55	28395	4.53	35.52	28746	3.35	0.81	<b>29434</b>	1.04	147.69
type1-7	20634	212510000	99.99	1800	29460	99.99	7.25	29403	99.99	0.28	29403	99.99	0.73	<b>29508</b>	99.99	168.61
type1-8	27357	200640000	99.99	1800	<b>28956</b>	99.99	3.11	28143	99.99	0.75	28842	99.99	3.99	28842	99.99	14.68
type2-1	10224	136080000	99.99	1800	<b>29730</b>	99.98	1.67	<b>29730</b>	99.98	2.31	29610	99.98	0.15	<b>29730</b>	99.98	0.25
type2-2	10721	406680000	100.0	1800	<b>29708</b>	99.98	8.42	28359	99.98	12.17	29215	99.98	73.85	29646	99.98	40.37
type2-3	23207	-	-	1800	29881	-	5.48	29574	-	08.05	29664	-	129.68	<b>29944</b>	-	1569.02
type2-4	21815	-	-	1800	29973	-	29.98	29788	-	40.91	29976	-	58.56	<b>30000</b>	-	3.28
type2-5	-	-	-	-	<b>29988</b>	-	49.85	29709	-	2.28	29973	-	7.95	<b>29988</b>	-	476.64
type3-1	20098	189920000	99.99	1800	28752	99.98	209.05	29512	99.98	4,5	<b>29736</b>	99.98	52.50	29530	99.98	22.36
type3-2	12067	190100000	99.99	1800	27955	99.98	131.35	<b>29430</b>	99.98	101.94	28453	99.98	79.40	27868	99.98	1576.15
type3-3	19294	-	-	1800	<b>30000</b>	-	20.58	<b>30000</b>	-	1648.75	<b>30000</b>	-	535.40	<b>30000</b>	-	55.90
type2-4	13466	-	-	1800	29957	-	644.50	29928	-	106.38	29959	-	158.84	<b>29994</b>	-	1742.3
type2-5	19675	-	-	1800	29972	-	100.30	29757	-	700.197	29928	-	538.30	<b>29988</b>	-	121.31

Tabela 3: Resultados dos decodificadores após o *tunnig*.

Instância	Decode 1			Decode 3			Decode 4		
	$LS_1$	$GAP$	$t_1(s)$	$LS_3$	$GAP$	$t_3(s)$	$LS_4$	$GAP$	$t_4(s)$
gcut1	<b>48368</b>	0,00	0.03	<b>48368</b>	0.00	0.01	<b>48386</b>	0.00	0.11
gcut2	59563	1,51	2.55	59335	1.89	65.68	<b>59798</b>	1,12	138.20
gcut3	<b>61275</b>	0.83	0.92	60663	1.82	11.42	<b>61275</b>	0.83	49.09
gcut4	<b>61380</b>	-	100.33	<b>61380</b>	-	3.42	<b>61380</b>	-	293.90
gcut5	<b>195582</b>	0,07	24.98	<b>195582</b>	0.07	3.10	<b>195582</b>	0.07	0.11
gcut6	<b>236305</b>	2.21	0.10	<b>236305</b>	2.21	0.01	<b>236305</b>	2.21	0.17
gcut7	<b>240143</b>	0.06	2.58	<b>240143</b>	0.06	45.40	<b>240143</b>	0.06	13.53
type1-1	<b>28032</b>	3.21	3.60	27852	3.84	0.22	<b>28032</b>	3.21	3.10
type1-2	<b>28494</b>	99.98	0.43	28014	99.98	16.10	<b>28494</b>	99.98	0.95
type1-3	<b>28677</b>	4.11	0.20	<b>28677</b>	4.11	0.31	<b>28677</b>	4.11	0.27
type1-4	<b>29271</b>	1.79	192.41	28488	4.42	1.20	28836	3.25	22.90
type1-5	29481	99.98	344.81	29386	99.98	353.57	<b>29610</b>	99.98	1062.94
type1-6	<b>29434</b>	1.04	114.35	29029	2.40	180.77	<b>29434</b>	1.04	452.30
type1-7	<b>29700</b>	99.99	481.48	29403	99.99	12.18	29508	99.99	48.9
type1-8	<b>28956</b>	99.99	6.78	28842	99.99	17.21	28842	99.99	4.28
type2-1	<b>29730</b>	99.98	0.30	<b>29730</b>	99.98	122.5	<b>29730</b>	99.98	22.45
type2-2	<b>29928</b>	99.99	20.62	29442	99.99	758.37	29850	99.99	690.41
type2-3	<b>29944</b>	-	106.50	<b>29944</b>	-	306.8	<b>29944</b>	-	482.14
type2-4	29976	-	759.35	<b>30000</b>	-	690.60	<b>30000</b>	-	1410.56
type2-5	<b>30000</b>	-	320.70	<b>30000</b>	-	942.26	<b>30000</b>	-	751.73
type3-1	<b>29736</b>	99.98	89.52	29512	99.98	162.13	<b>29736</b>	99.98	216.52
type3-2	<b>29191</b>	99.98	108.60	28848	99.98	50.14	<b>29191</b>	99.98	990.78
type3-3	<b>30000</b>	-	18.43	<b>30000</b>	-	696.77	<b>30000</b>	-	1423.38
type3-4	<b>30000</b>	-	424.22	<b>30000</b>	-	1596.5	29994	-	816.22
type3-5	29979	-	54.08	29928	-	245.46	<b>29988</b>	-	400.86

### 3.2 *Time-to-Target Plots*

Para analisar os decodificadores utilizamos o *Time-to-Target Plots* nas versões padrão e com *tuning*. Escolhemos as instâncias com a maior de quantidade de itens, *gcut7*, *type-1-8*, *type2-5*, *type3-5* com os respectivos *targets*, 238974, 28842, 29973, 29928. Executamos cada decodificador por 200 vezes com tempo limite para encontrar o *target* de 300 segundos.

A Figura 1 é mostrado os gráficos para os decodificadores com a configuração padrão. Podemos observar que nas duas primeiras figuras, todos os decodificadores conseguiram resolver facilmente as instâncias. Já na Figura 1c, o decodificador 2 praticamente não conseguiu resolver e os decodificadores 2 e 3 não conseguiram resolver todas as vezes com 300 segundos de limite. Na Figura 1d mostra a superioridade dos decodificadores 1 e 4, que foram os únicos que resolveram acima de 80% das execuções.

Na Figura 2 temos os gráficos de TTT-plots para os decodificadores 1 e 4. Podemos observar a completividade deles, uma leve vantagem do decodificador 1 no tempo para resolver as instâncias. Porém, na Figura 2d fica nítido uma superioridade do decodificador 4, que resolveu em torno de 90% das vezes contra 80% do decodificador 1.

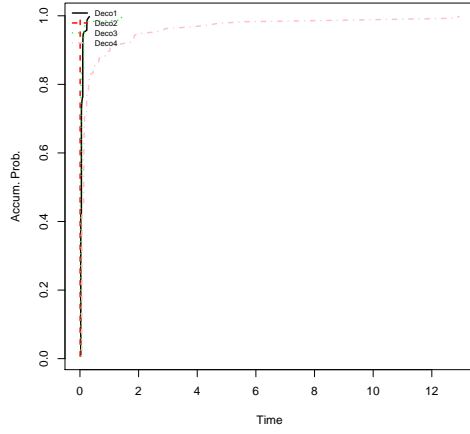
## 4 Conclusões

A utilização do BRKGA para resolução do 2KP se mostrou bastante eficiente, com os decodificadores 1 e 4 se destacando. Outro fator foi a importância da utilização do Irace, que mostrou que uma configuração adequada de parâmetros, com isso o decodificador 1 conseguiu superar os demais e ter melhores resultados de 11 para 21 instâncias. O solver *Gurobi* teve dificuldades em resolver a maiorias das instâncias e uma delas nem conseguiu solução, mostrando a importância de resolver o problemas 2KP com outras abordagens.

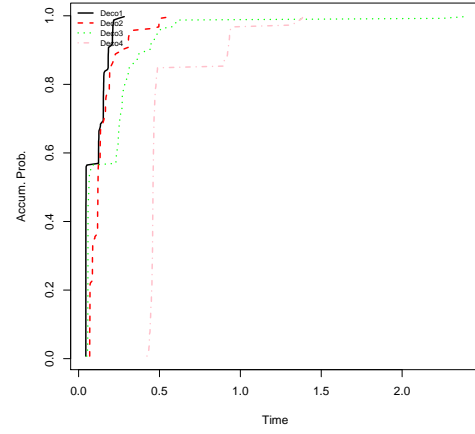
## Referências

- [1] Ramon Alvarez-Valdes, Francisco Parreño e Jose M Tamarit. “A GRASP algorithm for constrained two-dimensional non-guillotine cutting problems”. Em: *Journal of the Operational Research Society* 56.4 (2005), pp. 414–425.

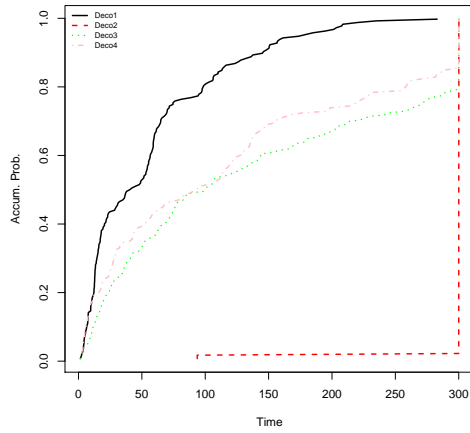




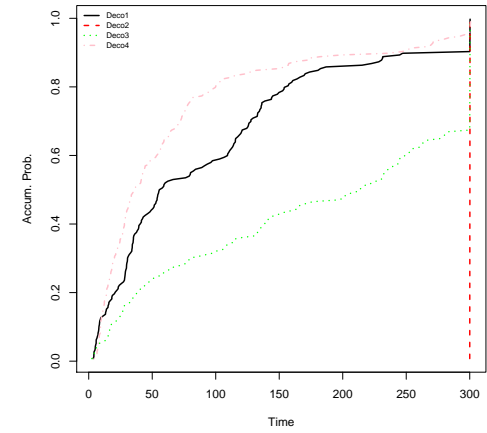
(a) Instância *gcut7*



(b) Instância *type1-8*

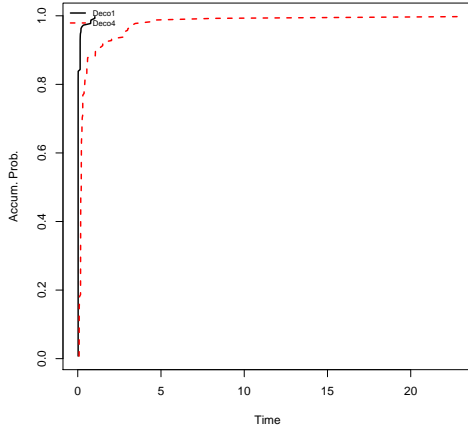


(c) Instância *type2-5*

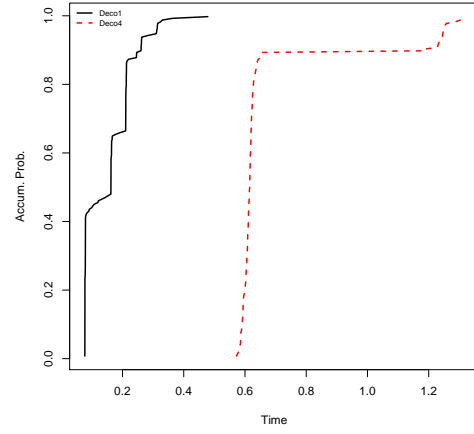


(d) Instância *type3-5*

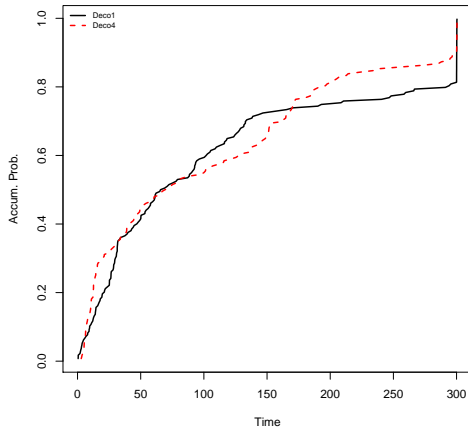
Figura 1: Gráfico TTT-plots comparando os decodificadores com configurações padrões.



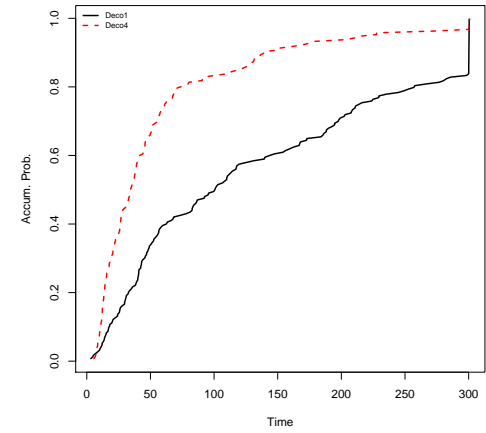
(a) Instância *gcut7*



(b) Instância *type1-8*



(c) Instância *type2-5*



(d) Instância *type3-5*

Figura 2: Gráfico TTT-plots comparando os decodificadores tunados.

- [2] Ramón Alvarez-Valdés, Francisco Parreño e José Manuel Tamarit. “A tabu search algorithm for a two-dimensional non-guillotine cutting problem”. Em: *European Journal of Operational Research* 183.3 (2007), pp. 1167–1182.
- [3] James C Bean. “Genetic algorithms and random keys for sequencing and optimization”. Em: *ORSA journal on computing* 6.2 (1994), pp. 154–160.
- [4] JE Beasley. “A population heuristic for constrained two-dimensional non-guillotine cutting”. Em: *European Journal of Operational Research* 156.3 (2004), pp. 601–627.
- [5] JE Beasley. “An exact two-dimensional non-guillotine cutting tree search procedure”. Em: *Operations Research* 33.1 (1985), pp. 49–64.
- [6] Nicos Christofides e Charles Whitlock. “An algorithm for two-dimensional cutting problems”. Em: *Operations Research* 25.1 (1977), pp. 30–44.
- [7] Harald Dyckhoff. “A typology of cutting and packing problems”. Em: *European Journal of Operational Research* 44.2 (1990), pp. 145–159.
- [8] José Fernando Gonçalves e Mauricio GC Resende. “A parallel multi-population genetic algorithm for a constrained two-dimensional orthogonal packing problem”. Em: *Journal of Combinatorial Optimization* 22.2 (2011), pp. 180–201.
- [9] José Fernando Gonçalves e Mauricio GC Resende. “Biased random-key genetic algorithms for combinatorial optimization”. Em: *Journal of Heuristics* 17.5 (2011), pp. 487–525.
- [10] JC Herz. “Recursive computational procedure for two-dimensional stock cutting”. Em: *IBM Journal of Research and Development* 16.5 (1972), pp. 462–469.
- [11] Stephen CH Leung et al. “A hybrid simulated annealing metaheuristic algorithm for the two-dimensional knapsack packing problem”. Em: *Computers & Operations Research* 39.1 (2012), pp. 64–73.
- [12] Andrea Lodi, Silvano Martello e Michele Monaci. “Two-dimensional packing problems: A survey”. Em: *European journal of operational research* 141.2 (2002), pp. 241–252.